

517.9:519.2:004.94

И.Е. Полосков

*Пермский государственный
национальный исследовательский университет*

Россия, 614990, Пермь, ул. Букирева, 15
polosk@psu.ru; (342) 2-396-560

**РАСЧЕТ МАТРИЦЫ КОВАРИАЦИОННЫХ ФУНКЦИЙ
ВЕКТОРА СОСТОЯНИЯ ЛИНЕЙНОЙ СТОХАСТИЧЕСКОЙ
ПАРАМЕТРИЧЕСКОЙ СИСТЕМЫ**

Рассматривается одна из проблем из области вероятностного анализа поведения динамических систем с сосредоточенными параметрами, описываемых линейными стохастическими дифференциальными уравнениями с параметрическими возмущениями в форме независимых стандартных винеровских процессов. В рамках корреляционной теории векторных случайных процессов основными объектами исследования являются вектор функций математических ожиданий, матрица функций ковариации (дисперсии) и матрица ковариационных функций векторного случайного процесса, моделирующего изменение вектора состояния изучаемой системы. Основное внимание в данной работе уделено представлению новой схемы расчета матрицы ковариационных функций. Эта схема описывается на примере анализа системы с одной степенью свободы.

Ключевые слова: моделирование, стохастическое дифференциальное уравнение, стохастический анализ, ковариационная функция, уравнение для моментной функции.

© Полосков И.Е., 2016

Работа выполнена при частичной финансовой поддержке РФФИ (проект № 14-01-96019) и Минобрнауки РФ (Задание № 2014/153).

Введение

Задачи вероятностного исследования процессов в нелинейных динамических системах относятся к числу важнейших как в теоретическом, так и в практическом плане. Необходимость их решения возникает при изучении различных явлений: расчете полета летательных аппаратов (ЛА) и колебаний конструкций этих ЛА под действием атмосферной турбулентности и из-за акустического возбуждения от реактивных двигателей; анализе вибраций, возникающих при движении автомобилей по неровным дорогам, перемещении катящихся по рулежным дорожкам самолетов и поездов по железнодорожным путям; оценке перемещений высотных сооружений (зданий, мачт, промышленных дымовых труб, подвесных и вантовых мостов) при ветровых и сейсмических воздействиях, а также под влиянием ударных волн из-за взрывов; исследовании качки судов и сооружений вдали от берега при нерегулярном морском волнении; реакции мостов на перемещающиеся нагрузки от движения транспортных средств; изучении отклонений элементов орбит спутников от расчетных, возникающих из-за неточности изготовления ракет-носителей и ошибок в работе систем управления [1–14] и т.д.

Заметим, что как правило, к классу стохастических (или вероятностных, или случайных, или статистических) относят системы со случайными параметрами (в широком смысле). Указанные системы позволяют описать функционирование реальных линейных и нелинейных систем, в которых параметры являются случайными величинами, процессами и полями. Основным математическим аппаратом исследования таких систем, описываемых стохастически дифференциальными уравнениями, обыкновенными и в частных производных, и их модификациями (СОДУ, СДУвЧП), является теория случайных марковских процессов и полей. Используя эту теорию, достижения в развитии аппарата анализа СДУ, (обобщенного) уравнения Фоккера–Планка–Колмогорова (ФПК-уравнения) для (функционала) плотности вероятности распределения вектора состояния и Пугачева для характеристической функции (характеристического функционала) [2, 15–17] в сочетании с точными и приближенными схемами исследований в ряде случаев удается получить интересные и важные для приложений результаты.

Необходимо отметить, что в последнее время, наряду со случайными (вероятностными или стохастическими [14], байесовски-

ми [18, 19], субъективными [20]) при анализе явлений в моделях учитывают и нестохастические неопределенности, которые нередко проявляются в инженерных задачах. Для математического описания и количественной оценки таких неопределенностей в исследуемых объектах и явлениях применяются методы выпуклого моделирования [21], грубых множеств [22], нечетких множеств [23], нечетких случайных величин [24] и теории хаоса [25, 26].

Обычно целью исследования стохастических систем с сосредоточенными параметрами является получение различных вероятностных характеристик векторов состояния как векторных случайных процессов. Наиболее полным будет решение, приводящее к определению одноточечной или многоточечной (переходной) плотности вероятности, а также характеристической функции изучаемого процесса, которые в зависимости от постановки задачи могут быть получены с разной степенью детализации. Но как правило, на практике ограничиваются числовыми характеристиками вектора состояния, включающими вектор функций математических ожиданий, матрицу функций ковариации (дисперсии) и матрицу ковариационных функций, которые являются основными инструментами корреляционной теории векторных случайных процессов, причем компоненты последней матрицы, наряду с матрицей спектральных плотностей, дают важнейшую информацию для построения оптимальных и устойчивых систем управления.

Наряду с остальными задачами, основное внимание в данной работе уделено представлению новой схемы расчета матрицы ковариационных функций. Эта схема описывается на примере анализа линейной параметрической системы с одной степенью свободы и допускает распространение на системы с любым конечным числом таких степеней. Приводятся выполненные в среде пакета *Mathematica* [27] результаты расчетов, демонстрирующие пригодность представленной схемы.

1. Постановка задачи

При исследовании многих стохастических динамических систем с сосредоточенными параметрами предполагается, что векторный случайный процесс $\mathbf{X}(t)$, описывающий состояние исследуемого объекта, удовлетворяет системе СОДУ Стратоновича следующего ви-

да:

$$d\mathbf{X}(t) = \mathbf{f}(\mathbf{X}(t), t) dt + \mathcal{G}(\mathbf{X}(t), t) \circ d\mathbf{W}(t), \quad \mathbf{X}(t_0) = \mathbf{X}^0, \quad (1)$$

или в менее строгой форме

$$\dot{\mathbf{X}}(t) = \mathbf{f}(\mathbf{X}(t), t) + \mathcal{G}(\mathbf{X}(t), t) \mathbf{V}(t), \quad \mathbf{X}(t_0) = \mathbf{X}^0, \quad (2)$$

где t – время ($t_0 < t \leq T < +\infty$); $\mathbf{X}(t) = \text{col}(X_1(t), X_2(t), \dots, X_n(t))$; $\mathbf{W}(t) = \text{col}(W_1(t), W_2(t), \dots, W_m(t))$ – стандартный векторный винеровский процесс с независимыми компонентами:

$$\mathcal{E}[\mathbf{W}(t)] = 0, \quad \mathcal{E}[d\mathbf{W}(t) d\mathbf{W}^\top(t')] = \mathcal{I} dt \delta(t - t');$$

$\mathbf{V}(t) = \text{col}(V_1(t), V_2(t), \dots, V_m(t))$ – вектор независимых стандартных гауссовских белых шумов – формальная производная векторного винеровского процесса $\mathbf{W}(t)$:

$$\mathcal{E}[\mathbf{V}(t)] = 0, \quad \mathcal{E}[\mathbf{V}(t) \mathbf{V}^\top(t')] = \mathcal{I} \delta(t - t');$$

$\mathbf{f}(\cdot, \cdot) = \{f_i(\cdot, \cdot)\}^\top : \mathbb{R}^n \times [t_0, \infty) \rightarrow \mathbb{R}^n$ и $\mathcal{G}(\cdot, \cdot) = \{g_{ij}(\cdot, \cdot)\} : \mathbb{R}^n \times [t_0, \infty) \rightarrow \mathbb{R}^n \times \mathbb{R}^m$ – неслучайные вектор и матрица с дифференцируемыми необходимым число раз компонентами; $\mathbf{X}^0 \sim p^0(\mathbf{x})$ – случайный вектор, описывающий начальное положение вектора состояния и имеющий плотность вероятности $p^0(\mathbf{x})$; \top – символ транспонирования; \mathcal{I} – единичная матрица соответствующего порядка; $\mathcal{E}[\dots]$ – оператор математического ожидания; $\delta(\cdot)$ – дельта-функция Дирака; точкой или точками сверху символа обозначаются производные по переменной t соответствующего порядка; $\text{col}(d_1, d_2, \dots, d_s)$ – вектор-столбец с соответствующими компонентами; \mathbb{R}^s – стандартное евклидово пространство размерности s , $\mathbb{R} = (-\infty, +\infty)$. При этом $\mathbf{X}(t)$ – решение уравнений (1), (2) – будет непрерывным векторным (диффузионным) марковским процессом. Условия существования и единственности этого решения приведены в [28].

Как известно [1, 2, 13, 15], для полного описания стохастического поведения вектора состояния $\mathbf{X}(t)$ необходимо знание одноточечной (по отношению к временному аргументу) плотности вероятности $p(\mathbf{x}, t)$ и переходной плотности вероятности $\pi(\mathbf{x}, t | \mathbf{y}, \tau)$ $t > \tau$, которые удовлетворяют ФПК-уравнению (второму или прямому уравнению Колмогорова)

$$\frac{\partial p(\mathbf{x}, t)}{\partial t} = \mathbb{L}_{xt} \llbracket p(\mathbf{x}, t) \rrbracket, \quad (3)$$

$$\frac{\partial \pi(\mathbf{x}, t | \mathbf{y}, \tau)}{\partial t} = \mathbb{L}_{xt} \llbracket \pi(\mathbf{x}, t | \mathbf{y}, \tau) \rrbracket, \quad (4)$$

$$\mathbb{L}_{xt} \llbracket \cdot \rrbracket = \frac{1}{2} \sum_{i,j=1}^n \frac{\partial^2 [b_{ij}(\mathbf{x}, t) \{\cdot\}]}{\partial x_i \partial x_j} - \sum_{i=1}^n \frac{\partial [a_i(\mathbf{x}, t) \{\cdot\}]}{\partial x_i} \quad (5)$$

с начальным условием

$$p(\mathbf{x}, t_0) = p^0(\mathbf{x}), \quad (6)$$

$$\lim_{t \rightarrow \tau + 0} \pi(\mathbf{x}, t | \mathbf{y}, \tau) = \delta(\mathbf{x} - \mathbf{y}) \quad (7)$$

соответственно, где коэффициенты сноса a_i и диффузии b_{ij} вычисляются по формулам Стратоновича [2, 15] вида:

$$a_i = f_i + \frac{1}{2} \sum_{j=1}^n \sum_{k=1}^m \frac{\partial g_{ik}}{\partial x_j} g_{jk}, \quad b_{ij} = \sum_{k=1}^m g_{ik} g_{jk}. \quad (8)$$

Знание $p(\mathbf{x}, t)$ позволяет вычислить компоненты вектора $\mathbf{m}_X(t) = \text{col}(m_{X_1}(t), m_{X_2}(t), \dots, m_{X_n}(t))$ функций математических ожиданий и матрицы $\mathcal{K}_{XX}(t) = \{\mathcal{K}_{X_i X_j}(t)\}$ функций ковариации:

$$m_{X_i}(t) = m_i(t) = \int_{\mathbb{R}^n} x_i p(\mathbf{x}, t) d\mathbf{x}, \quad (9)$$

$$\begin{aligned} \mathcal{K}_{X_i X_j}(t) = \mathcal{K}_{ij}(t) &= \int_{\mathbb{R}^n} [x_i - m_{X_i}(t)] [x_j - m_{X_j}(t)] p(\mathbf{x}, t) d\mathbf{x} = \\ &= m_{ij}(t) - m_i(t) m_j(t), \end{aligned} \quad (10)$$

где $i, j = 1, 2, \dots, n$; $\mathcal{D}_{X_i}(t) = \mathcal{K}_{X_i X_i}(t) = \mathcal{D}_i(t)$ – функции дисперсии; $m_{ij}(t)$ – начальная моментная функция второго порядка. Ситуация же с вычислением элементов матрицы $\mathcal{C}_{XX}(t, \tau) = \{\mathcal{C}_{X_i X_j}(t, \tau)\}$ ковариационных функций сложнее: во-первых, для их расчета нужна двухточечная плотность вероятности $p(\mathbf{x}, t; \mathbf{y}, \tau)$:

$$\begin{aligned} \mathcal{C}_{X_i X_j}(t, \tau) = \mathcal{C}_{ij}(t, \tau) &= \\ &= \int_{\mathbb{R}^n} \int_{\mathbb{R}^n} [x_i - m_{X_i}(t)] [y_j - m_{X_j}(\tau)] p(\mathbf{x}, t; \mathbf{y}, \tau) d\mathbf{x} d\mathbf{y} = \\ &= \mathcal{R}_{ij}(t, \tau) - m_i(t) m_j(\tau), \end{aligned} \quad (11)$$

где $\mathcal{R}_{ij}(t, \tau)$ – компоненты матрицы корреляционных функций; во-вторых, несмотря на соотношение

$$p(\mathbf{x}, t; \mathbf{y}, \tau) = \pi(\mathbf{x}, t | \mathbf{y}, \tau) \cdot p(\mathbf{y}, t), \quad (12)$$

использование уравнения (3) с начальным условием (6) для вычисления $\pi(\mathbf{x}, t | \mathbf{y}, \tau)$ или с условием

$$p(\mathbf{x}, \tau; \mathbf{y}, \tau) = p^0(\mathbf{y}) \cdot \delta(\mathbf{x} - \mathbf{y}) \quad (13)$$

для определения $p(\mathbf{x}, t; \mathbf{y}, \tau)$ затруднительно с технической точки зрения вследствие того, что прямой приближенный численный расчет $\pi(\mathbf{x}, t | \mathbf{y}, \tau)$ или $p(\mathbf{x}, t; \mathbf{y}, \tau)$ невозможен из-за наличия символьных векторного и скалярного параметров (\mathbf{y} и τ соответственно).

Другой путь, нежели использование соотношений (9)–(11), состоит в точном или приближенном построении на основе ФПК-уравнения (3) систем ОДУ, которым удовлетворяют компоненты вектора $\mathbf{m}_X(t)$ и матрицы $\mathcal{D}_X(t)$, да и другие одноточечные моментные (и кумулянтные) функции (более высокого порядка) [15]. При этом замкнутые системы ОДУ для моментных функций могут быть построены только для векторов состояния или линейных

$$d\mathbf{X}(t) = [\mathbf{A}(t)\mathbf{X}(t) + \mathbf{c}(t)] dt + \mathcal{Q}(t) d\mathbf{W}(t), \quad (14)$$

или линейных параметрических

$$d\mathbf{X}(t) = [\mathbf{A}(t)\mathbf{X}(t) + \mathbf{c}(t)] dt + [\mathbf{G}(t) :: \mathbf{X}(t) + \mathcal{Q}(t)] \circ d\mathbf{W}(t), \quad (15)$$

систем СОДУ, где $\mathbf{c}(t) = \text{col}(c_1(t), c_2(t), \dots, c_n(t))$, $\mathbf{A}(t) = \{a_{ij}(t)\} \in \mathbb{M}_{n \times n}$, $\mathcal{Q}(t) = \{q_{ij}(t)\} \in \mathbb{M}_{n \times m}$, $\mathbf{G}(t) = \{g_{ijk}(t)\} \in \mathbb{M}_{n \times m \times n}$ – неслучайные векторные и матричные функции, компоненты которых дифференцируемы необходимое число раз по аргументу t ; $\mathbb{M}_{s \times q}$ и $\mathbb{M}_{s \times q \times r}$ – множество действительных $s \times q$ -матриц и $s \times q \times r$ -матриц соответственно;

$$\mathbf{G}(t) :: \mathbf{X}(t) = \left\{ \sum_{k=1}^n g_{ijk}(t) X_k(t) \right\}.$$

В случае же нелинейных систем ситуация резко усложняется. В первую очередь это связано с незамкнутостью любой конечной

части построенной, что объясняется наличием в уравнениях моментных функций более высокого порядка, чем порядок моментной функции, относительно которой записано конкретное уравнение (например, в случае полиномиальных нелинейностей). Более серьезные проблемы доставляют существенно нелинейные (трансцендентные, кусочно гладкие) СОДУ, для которых построение моментных и кумулянтных уравнений невозможно без приближенной замены исходных СОДУ уравнениями более простой структуры. Это касается как использования ФПК-уравнений и уравнений Пугачева [15, 16, 29, 30], так и прямого построения одноточечных моментных и кумулянтных уравнений на основе системы ОДУ для вектора состояния [31–33] (тензорное представление для одноточечных моментов и кумулянтов), [35, 36] (использование функции Грина для линейной системы со случайными параметрами). Отметим также схемы прямого построения многоточечных моментных и кумулянтных уравнений на основе системы СОДУ для вектора состояния, представленные в работах [34, 36, 37], но все эти схемы имеют весьма сложную структуру. Что касается ОДУ для элементов матрицы $\mathbf{C}_X(t, \tau)$ ковариационных функций, то такие ОДУ без труда могут быть построены только для векторов состояния линейных систем СОДУ [15].

Итак, задача состоит в разработке удобной и эффективной схема расчета матриц ковариационных функций для векторов состояния динамических систем с сосредоточенными параметрами, описываемых линейными стохастическими дифференциальными уравнениями с параметрическими возмущениями в форме независимых стандартных винеровских процессов.

2. Описание предлагаемой схемы

Рассмотрим стохастическую систему следующего вида:

$$\ddot{X}(t) + 2\alpha \dot{X}(t) + \omega_0^2 X(t) = \beta X(t) V(t), \quad (16)$$

где $\alpha > 0$, $\omega > 0$, β – постоянные. Обозначая $X(t)$ через $X_1(t)$, $\dot{X}(t)$ – через $X_2(t)$ и переходя к уравнениям в дифференциалах, получим частный случай системы (14):

$$\begin{aligned} dX_1(t) &= dX_2(t), \\ dX_2(t) &= -[\omega_0^2 X_1(t) + 2\alpha X_2(t)] dt + \beta X_1(t) \circ dW(t). \end{aligned} \quad (17)$$

Пусть начальное состояние системы $\mathbf{X}^0 = \{X_1(0), X_2(0)\}^\top$ случайно и описывается плотностью вероятности $p^0(\cdot, \cdot)$ и существуют первые моменты – начальные математические ожидания m_i^0 и начальные моменты второго порядка m_{ij}^0 вектора \mathbf{X}^0 .

Тогда коэффициенты сноса и диффузии для системы (17) принимают следующую форму:

$$\begin{aligned} a_1 &= x_2, & b_{11} &= b_{12} = b_{21} = 0, \\ a_2 &= -(\omega_0^2 x_1 + 2\alpha x_2), & b_{22} &= \beta^2 x_1^2, \end{aligned} \quad (18)$$

а ФПК-уравнение (3), (5) будет иметь вид:

$$\begin{aligned} \frac{\partial p(x_1, x_2, t)}{\partial t} &= \frac{\beta^2}{2} \frac{\partial^2 p(x_1, x_2, t)}{\partial x_2^2} - x_2 \frac{\partial p(x_1, x_2, t)}{\partial x_1} + \\ &+ \frac{\partial [(\omega_0^2 x_1 + 2\alpha x_2) p(x_1, x_2, t)]}{\partial x_2}. \end{aligned} \quad (19)$$

Исходя из последнего уравнения и применяя соотношения [15, стр. 100]

$$\begin{aligned} \dot{m}_k(t) &= \iint_{-\infty}^{+\infty} a_k(\mathbf{x}, t) p(\mathbf{x}, t) d\mathbf{x}, \\ \dot{m}_{k\ell}(t) &= \iint_{-\infty}^{+\infty} [x_k a_\ell(\mathbf{x}, t) + x_\ell a_k(\mathbf{x}, t) + b_{k\ell}(\mathbf{x}, t)] p(\mathbf{x}, t) d\mathbf{x}, \end{aligned} \quad (20)$$

где $k, \ell = 1, 2$, можно получить уравнения для односточных первых моментов векторного случайного процесса $\mathbf{X}(t)$ – функций математического ожидания и компонент матрицы функций ковариации:

$$\begin{aligned} \dot{m}_1(t) &= m_2(t), \\ \dot{m}_2(t) &= -[\omega_0^2 m_1(t) + 2\alpha m_2(t)], \\ \dot{m}_{11}(t) &= 2m_{12}(t), \\ \dot{m}_{12}(t) &= m_{22}(t) - [\omega_0^2 m_{11}(t) + 2\alpha m_{12}(t)], \\ \dot{m}_{22}(t) &= \beta^2 m_{22}(t) - 2[\omega_0^2 m_{12}(t) + 2\alpha m_{22}(t)] \end{aligned} \quad (21)$$

с начальными условиями

$$\begin{aligned} m_1(0) &= m_1^0, & m_2(0) &= m_2^0, \\ m_{11}(0) &= m_{11}^0, & m_{12}(0) &= m_{12}^0, & m_{22}(0) &= m_{22}^0. \end{aligned} \quad (22)$$

Теперь введем случайный вырожденный векторный случайный процесс $\mathbf{Y}(t) = \{Y_1(t), Y_2(t)\}^\top$, который определим уравнениями:

$$\dot{\mathbf{Y}}(t_2) = 0, \quad t_2 > t_1, \quad \mathbf{Y}(t_1) = \mathbf{X}(t_1). \quad (23)$$

Далее, пусть расширенный векторный случайный процесс $\text{col}(\mathbf{X}(t), \mathbf{Y}(t))$ имеет двухточечную плотность вероятности $p^*(\mathbf{x}, t_2; \mathbf{y}, t_1)$, которая удовлетворяет соответствующему ФПК-уравнению:

$$\begin{aligned} \frac{\partial p^*(\mathbf{x}, t_2; \mathbf{y}, t_1)}{\partial t} &= \frac{\beta^2}{2} \frac{\partial^2 p^*(\mathbf{x}, t_2; \mathbf{y}, t_1)}{\partial x_2^2} - x_2 \frac{\partial p^*(\mathbf{x}, t_2; \mathbf{y}, t_1)}{\partial x_1} + \\ &+ \frac{\partial [(\omega_0^2 x_1 + 2\alpha x_2) p^*(\mathbf{x}, t_2; \mathbf{y}, t_1)]}{\partial x_2} \end{aligned} \quad (24)$$

с начальным условием

$$\lim_{t_2 \rightarrow t_1 + 0} p^*(\mathbf{x}, t_2; \mathbf{y}, t_1) = \delta(\mathbf{x} - \mathbf{y}) p(\mathbf{y}, t_1). \quad (25)$$

Используя (24), по аналогии с формулами (20) можно построить уравнения для моментных функций $m_{X_k Y_\ell}(t_2, t_1) = m_{k\ell}^*(t_2, t_1)$, $k, \ell = 1, 2$:

$$\begin{aligned} \frac{\partial m_{11}^*(t_2, t_1)}{\partial t_2} &= m_{21}^*(t_2, t_1), \\ \frac{\partial m_{21}^*(t_2, t_1)}{\partial t_2} &= -[\omega_0^2 m_{11}^*(t_2, t_1) + 2\alpha m_{21}^*(t_2, t_1)], \\ \frac{\partial m_{12}^*(t_2, t_1)}{\partial t_2} &= m_{22}^*(t_2, t_1), \\ \frac{\partial m_{22}^*(t_2, t_1)}{\partial t_2} &= -[\omega_0^2 m_{12}^*(t_2, t_1) + 2\alpha m_{22}^*(t_2, t_1)]. \end{aligned} \quad (26)$$

Чтобы определить начальные условия для неизвестных функций в уравнениях (26), пределаем следующие выкладки:

$$\begin{aligned}
 m_{k\ell}^*(t_1, t_1) &= \iint_{-\infty}^{+\infty} \iint_{-\infty}^{+\infty} x_k y_\ell p^*(\mathbf{x}, t_1; \mathbf{y}, t_1) d\mathbf{x} d\mathbf{y} = \\
 &= \iint_{-\infty}^{+\infty} \iint_{-\infty}^{+\infty} x_k y_\ell \delta(\mathbf{x} - \mathbf{y}) p(\mathbf{y}, t_1) d\mathbf{x} d\mathbf{y} = \iint_{-\infty}^{+\infty} y_k y_\ell p(\mathbf{y}, t_1) d\mathbf{y},
 \end{aligned}$$

откуда

$$m_{k\ell}^*(t_1, t_1) = m_{Y_k Y_\ell}(t_1) = m_{k\ell}(t_1), \quad k, \ell = 1, 2. \quad (27)$$

Завершим расчетную схему. Для этого установим связь матрицы ковариационных функций для $t_2 > t_1$ с вычисляемыми из уравнений функциями:

$$\begin{aligned}
 \mathbf{C}_{XX}(t_2, t_1) &= \mathcal{E} \left[\{ \mathbf{X}(t_2) - \mathbf{m}_X(t_2) \} \{ \mathbf{X}(t_1) - \mathbf{m}_X(t_1) \}^\top \right] = \\
 &= \mathcal{E} \left[\{ \mathbf{X}(t_2) - \mathbf{m}_X(t_2) \} \{ \mathbf{Y}(t_1) - \mathbf{m}_X(t_1) \}^\top \right] = \\
 &= \mathcal{E} [\mathbf{X}(t_2) \mathbf{Y}^\top(t_1)] - \mathbf{m}_X(t_2) \mathbf{m}_X^\top(t_1),
 \end{aligned}$$

или окончательно

$$\mathbf{C}_{XX}(t_2, t_1) = \begin{bmatrix} m_{11}^*(t_2, t_1) & m_{12}^*(t_2, t_1) \\ m_{21}^*(t_2, t_1) & m_{22}^*(t_2, t_1) \end{bmatrix} - \mathbf{m}_X(t_2) \mathbf{m}_X^\top(t_1). \quad (28)$$

3. Пример

Чтобы продемонстрировать разработанную схему, были проведены численные расчеты в среде пакета *Mathematica*. Значения параметров задачи варьировались следующим образом:

$$\alpha \in \{0.1, 0.2\}, \quad \omega_0 \in \{2.0, 4.0\}, \quad \beta \in \{0.1, 0.15\},$$

а начальные математические ожидания и ковариации были выбраны так:

$$\mathbf{m}^0 = \begin{bmatrix} 4.0 \\ 1.0 \end{bmatrix}, \quad \mathbf{K}^0 = \begin{bmatrix} 0.25 & 0.00 \\ 0.00 & 0.16 \end{bmatrix}.$$

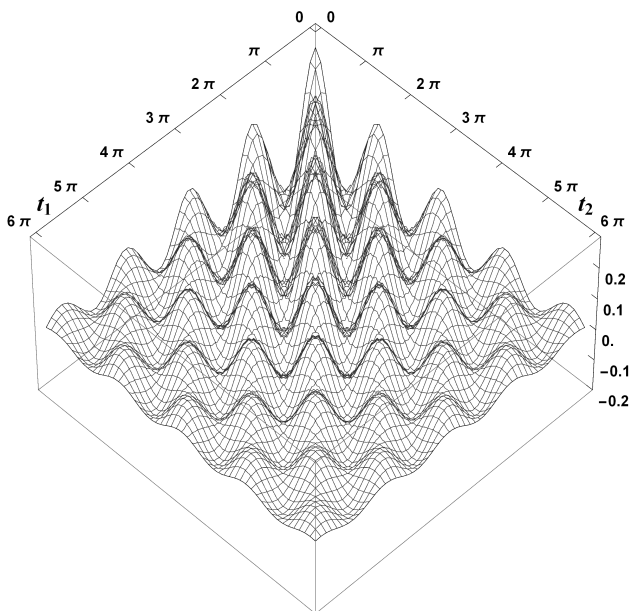


Рис.1

Результаты вычисления ковариационных функций $C_{11}(t_1, t_2)$, $C_{12}(t_1, t_2)$, $C_{21}(t_1, t_2)$, $C_{22}(t_1, t_2)$ представлены на рис. 1–4, которые соответствует $\alpha = 0.1$, $\omega_0 = 2.0$, $\beta = 0.1$, $T = 6\pi$.

Заключение

Резюмируя, заметим, что изложенная схема заключена в подлежащих численному интегрированию системах ОДУ (21), (26) с начальными условиями (22), (27) соответственно и соотношении (28). Перенос изложенной схемы на нелинейные стохастические системы возможен при использовании какой-либо схемы замыкания [15] бесконечной системы ОДУ для начальных моментных функций, причем бесконечность системы является следствием ее нелинейности.

Библиографический список

1. Болотин В.В. Случайные колебания упругих систем. М.: Наука, 1979. 336 с.

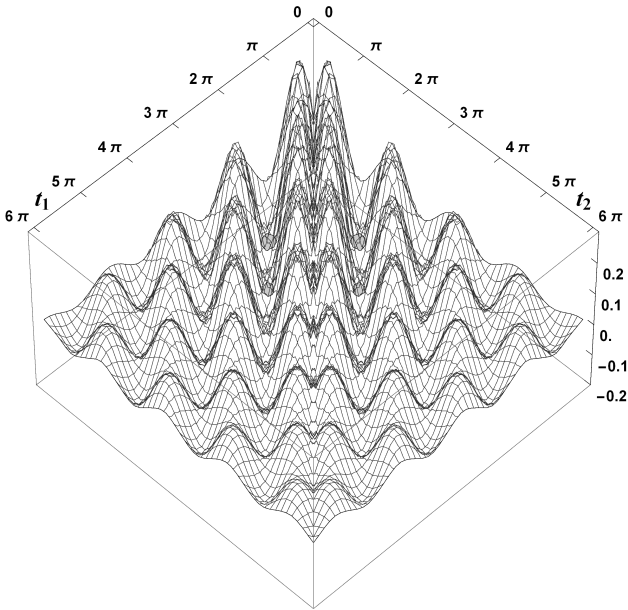


Рис.2

2. *Диментберг М.Ф.* Нелинейные стохастические задачи механических колебаний. М.: Наука, 1980. 368 с.

3. *Евланов Л.Г., Константинов В.М.* Системы со случайными параметрами. М.: Наука, 1976. 568 с.

4. *Кляцкин В.И.* Стохастические уравнения и волны в случайно неоднородных средах. М.: Наука, 1980. 336 с.

5. *Макаров Б.П.* Нелинейные задачи статистической динамики машин и приборов. М.: Машиностроение, 1983. 264 с.

6. *Николаенко Н.А., Ульянов С.В.* Статистическая динамика машиностроительных конструкций. М.: Машиностроение, 1977. 368 с.

7. *Светлицкий В.А.* Случайные колебания механических систем. М.: Машиностроение, 1991. 320 с.

8. *Crandall S.H., Mark W.D.* Random vibration in mechanical systems. New York: Academic Press, 1963. VIII, 166 p.

9. *Ibrahim R.A.* Parametric random vibration. Letchworth: Research Studies Press, 1985. XII, 342 p.

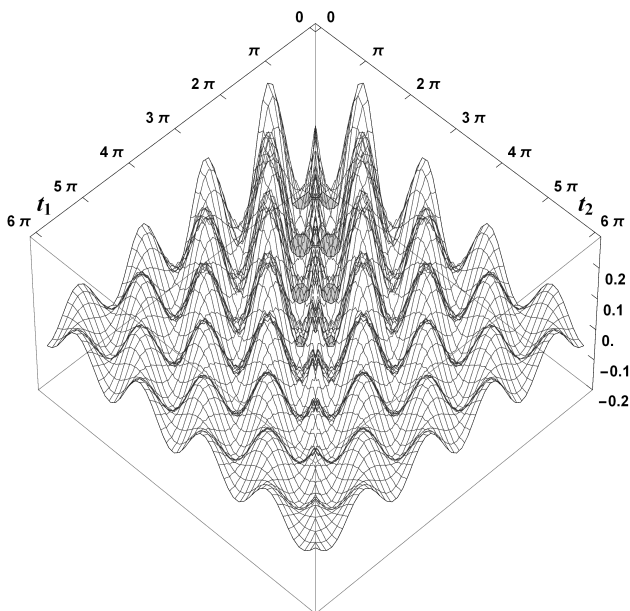


Рис.3

10. *Iwankiewicz R.* Dynamical mechanical systems under random impulses. Singapore: World Scientific, 1995. IX, 161 p.

11. *Lin Y.K.* Probabilistic theory of structural dynamics. New York: McGraw-Hill, 1967. 368 p.

12. *Ohayon R., Soize C.* Structural acoustics and vibration mechanical models: Variational formulations and discretization. London: Academic Press, 1998. X, 424 p.

13. *Socha L.* Linearization methods for stochastic dynamic systems. Berlin: Springer, 2008. XI, 383 p.

14. *Soize C.* Stochastic models of uncertainties in computational mechanics. Reston: ASCE, 2012. 120 p.

15. *Маланин В.В., Полосков И.Е.* Методы и практика анализа случайных процессов в динамических системах: учеб. пособие. Ижевск: РХД, 2005. 296 с.

16. *Пугачев В.С., Синицын И.Н.* Теория стохастических систем: учеб. пособие для вузов. М.: Логос, 2004. 1000 с.

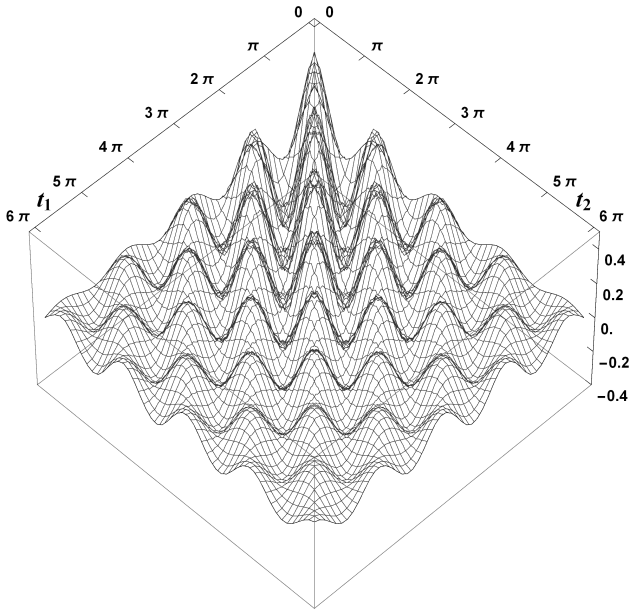


Рис. 4

17. Шмелев А.Б. Основы марковской теории нелинейной обработки случайных полей. М.: Изд-во МФТИ, 1998. 208 с.

18. Ando T. Bayesian model selection and statistical modeling. Boca Raton: CRC, 2010. XIV, 286 p.

19. Congdon P. Applied bayesian modelling. Chichester: Wiley, 2014. XLI, 437 p.

20. Jeffrey R. Subjective probability: The real thing. Cambridge (NY): Cambridge University Press, 2004. – 142 p.

21. Ben-Haim Y., Elishakoff I. Convex models of uncertainty in applied mechanics. Amsterdam: Elsevier, 1990. 240 p.

22. Pawlak Z. Rough sets: theoretical aspects of reasoning about data. Dordrecht: Springer, 1991. 231 p.

23. Коньшева Л.К., Назаров Д.М. Основы теории нечетких множеств: учеб. пособие. СПб.: Питер, 2011. 192 с.

24. Möller B., Beer M. Fuzzy randomness: Uncertainty in civil engineering and computational mechanics. Berlin: Springer, 2004. 335 p.

25. *Магницкий Н.А.* Теория динамического хаоса. М.: Ленанд, 2011. 320 с.

26. *Kapitaniak T.* Chaos for engineers: Theory, applications, and Control. Berlin: Springer, 2000. XII, 135 p.

27. *Mangano S.* Mathematica cookbook. Cambridge: O'Reilly, 2010. XXIV, 800 p.

28. *Оксендаль Б.* Стохастические дифференциальные уравнения. Введение в теорию и приложения. М.: Мир, 2003. 408 с.

29. *Дашевский М.Л.* Уравнения семиинвариантов нелинейных динамических систем // Автоматика и телемеханика. 1968. № 10. С. 63–71.

30. *Дашевский М.Л.* A semiinvariant method of closing the equations for moments in statistical analysis of nonlinear systems // Проблемы управления и теория информации. 1975. Т. 4, № 4. С. 317–326.

31. *Lutes L.D.* State space analysis of stochastic response cumulants // Probabilistic Engineering Mech. 1986. Vol. 1, № 2. P. 94–98.

32. *Lutes L.D., Papadimitriou C.* Direct derivation of response moment and cumulant equations for non-linear stochastic problems // International Journal of Non-Linear Mechanics. 2000. Vol. 35, № 5. P. 817–835.

33. *Lutes L.D., Papadimitriou C.* Finding response cumulants for nonlinear systems with multiplicative excitations // IUTAM Symposium on Nonlinearity and Stochastic Structural Dynamics / S. Narayanan, R.N. Iyengar (eds.). Dordrecht: Springer, 2001. P. 119–132.

34. *Lutes L.D.* A Perspective on state-space stochastic analysis // 8th ASCE Specialty Conference on Probabilistic Mechanics and Structural Reliability. 2000. PMC2000-LDL. 15 p. URL: http://www.usc.edu/dept/civil_eng/johnsone/pmc2000/sessions/papers/pLDL.pdf

35. *Brissaud A., Frisch U.* Solving linear stochastic differential equations // Journal of Mathematical Physics (AIP). 1974. Vol. 15, № 5. P. 524–534.

36. *Falsone G.* Cumulants and correlations for linear systems under non-stationary delta-correlated processes // Probabilistic Engineering Mechanics. 1994. Vol. 9, № 3. P. 157–165.

37. *Di Paola M., Falsone G.* Response correlations of linear systems with white noise linearly parametric inputs // IUTAM Symposium on Advances in Nonlinear Stochastic Mechanics / A. Naess, S. Krenk (eds.). Dordrecht: Kluwer Academic Publishers, 1996. P. 351–360.